

## Лабораторная работа №4

# Исследование адаптивного линейного элемента

## 1 Цель работы

Углубление теоретических знаний в области архитектуры нейронных сетей с линейной активационной функцией, исследование свойств квадратичной целевой функции и LMS-алгоритма обучения, приобретение практических навыков обучения однослойной сети линейных адаптивных элементов при решении задачи классификации и адаптивной фильтрации.

## 2 Основные теоретические положения

### 2.1 Структура однослойной сети из адаптивных линейных элементов

Адаптивный линейный элемент (АЛЭ) (ADALINE - Adaptive Linear Element) представляет собой нейрон с линейной функцией преобразования [purelin](#). Общая структурная схема однослойной сети из АЛЭ изображена на рисунке 4.1.

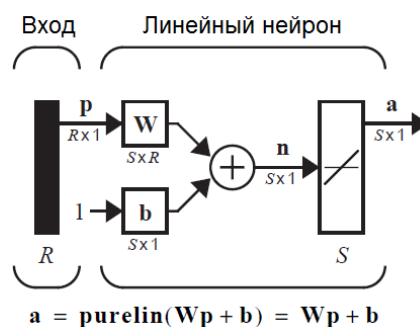


Рисунок 4.1 — Схема однослойной сети из адаптивных линейных элементов

Выходное значение отдельного нейрона сети вычисляется в соответствии с выражением

$$a_i = \text{purelin}(n_i) = \text{purelin}({}_i\mathbf{w}^T \mathbf{p} + b_i) = {}_i\mathbf{w}^T \mathbf{p} + b_i \quad (4.1)$$

### 2.2 Классификация с использованием АЛЭ

Рассмотрим АЛЭ с 2-мя входами и 1 выходом (рисунок 4.2.).

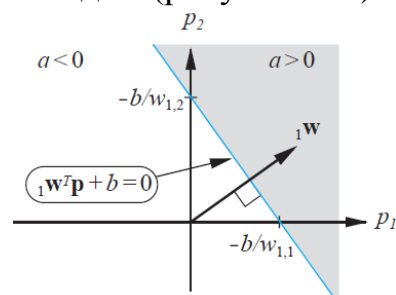
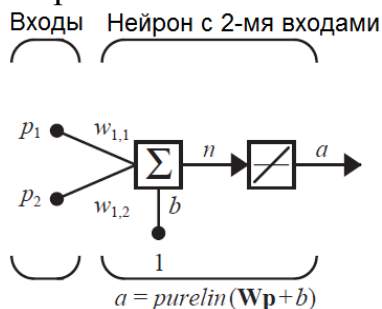


Рисунок 4.2 — АЛЭ и его граница решения

С учетом только 2-х входов выходной сигнал нейрона будет равен

$$a = {}_1\mathbf{w}^T \mathbf{p} + b = w_{1,1}p_1 + w_{1,2}p_2 + b. \quad (4.2)$$

**Граница решения** определится из условия

$$n = {}_1\mathbf{w}^T \mathbf{p} + b = w_{1,1}p_1 + w_{1,2}p_2 + b = 0. \quad (4.3)$$

АЛЭ разделяет входное пространство на две области, где  $a > 0$  и  $a < 0$  (см. рисунок 4.2). Таким образом, АЛЭ (как и персептрон) может использоваться для классификации **линейно сепарабельных** объектов.

### 2.3 Целевая функция нейронной сети

Задача обучения нейронных сетей сводится к поиску весов и смещений, которые обеспечивают необходимую эффективность сети. Количественная мера эффективности сети определяется **целевой функцией** или **критерием эффективности**. Целевая функция зависит от параметров сети и имеет малые значения, когда сеть функционирует хорошо, и большие значения, когда сеть функционирует плохо. Поэтому целью обучения является поиск параметров сети, которые обеспечивают минимум целевой функции.

Пусть  $F(\mathbf{x})$  непрерывная целевая функция, где  $\mathbf{x} = [x_1, x_2, \dots, x_n]^T$  — вектор столбец параметров сети в  $n$ -мерном евклидовом пространстве. Необходимо найти минимум  $F(\mathbf{x})$  по  $\mathbf{x}$ . В точке  $\mathbf{x} = \mathbf{x}^*$  будет минимум целевой функции, если градиент функции (вектор первых частных производных  $F(\mathbf{x})$  по  $\mathbf{x}$ ) будет равен нулю в этой точке (условие *первого порядка*)

$$\nabla F(\mathbf{x}) \Big|_{\mathbf{x} = \mathbf{x}^*} = 0. \quad (4.4)$$

Точки  $\mathbf{x}$ , удовлетворяющие этому условию, называются *стационарными*. В точке  $\mathbf{x}^*$  будет существовать строгий минимум, если (условие *2-го порядка*)

$$\Delta \mathbf{x}^T \nabla^2 F(\mathbf{x}) \Big|_{\mathbf{x} = \mathbf{x}^*} \Delta \mathbf{x} > 0, \quad (4.4)$$

где  $\nabla^2 F(\mathbf{x})$  — квадратная *матрица Гессе* целевой функции (матрица вторых частных производных  $F(\mathbf{x})$  по  $\mathbf{x}$ , называемая гессианом),  $\Delta \mathbf{x} = \mathbf{x} - \mathbf{x}^*$  — окрестность точки минимума. Чтобы условие (4.4) выполнялось для любых  $\|\Delta \mathbf{x}\| > 0$  достаточно, чтобы матрица Гессе была *положительно определена*. Для того чтобы в точке  $\mathbf{x}^*$  находился минимум (строгий или слабый) достаточно, чтобы матрица Гессе была *положительно полуопределена*. Напомним, что матрица положительно определена, если все собственные числа  $\lambda$  матрицы положительны. Если все собственные числа матрицы не отрицательны, то матрица положительно полуопределена.

При обучении нейронных сетей часто используют *квадратичную целевую функцию*. Общая форма квадратичной целевой функции

$$F(\mathbf{x}) = \frac{1}{2} \mathbf{x}^T \mathbf{A} \mathbf{x} + \mathbf{d}^T \mathbf{x} + c, \quad (4.5)$$

где  $\mathbf{A}$  – симметричная матрица. Градиент и гессиан квадратичной *целевой функции*  $F(\mathbf{x})$  соответственно равны:

$$\nabla F(\mathbf{x}) = \mathbf{A} \mathbf{x} + \mathbf{d}, \quad \nabla^2 F(\mathbf{x}) = \mathbf{A}. \quad (4.6)$$

## 2.4 Алгоритм наискорейшего спуска

Цель оптимизации заключается в поиске вектора параметров сети  $\mathbf{x}^*$ , который минимизирует целевую функцию  $F(\mathbf{x})$ . Для поиска  $\mathbf{x}^*$  применяют алгоритмы последовательного приближения – *итеративные алгоритмы*. В соответствии с такими алгоритмами поиск начинается с начального значения  $\mathbf{x}_0$  и на каждом шаге  $k$  вектор параметров корректируют в соответствии с формулой

$$\mathbf{x}_{k+1} = \mathbf{x}_k + \alpha_k \mathbf{p}_k \quad (4.7)$$

или

$$\Delta \mathbf{x}_k = (\mathbf{x}_{k+1} - \mathbf{x}_k) = \alpha_k \mathbf{p}_k, \quad (4.8)$$

где  $\mathbf{p}_k$  – вектор, определяющий направление поиска;  $\alpha_k$  – скорость обучения, определяющая длину шага  $\Delta \mathbf{x}_k$ .

Итеративные алгоритмы оптимизации отличаются выбором вектора направления поиска  $\mathbf{p}_k$  и способами вычисления значений скорости обучения. Так, в *алгоритме наискорейшего спуска* (**SDA – steepest descent algorithm**) направление поиска обратно направлению вектора градиента, т.е.  $\mathbf{p}_k = -\mathbf{g}_k$ , где  $\mathbf{g}_k = \nabla F(\mathbf{x})$  – значение вектора градиента целевой функции на  $k$ -ой итерации алгоритма. Соответственно процедура SDA определяется выражением:

$$\mathbf{x}_{k+1} = \mathbf{x}_k - \alpha_k \mathbf{g}_k. \quad (4.9)$$

Если целевая функция  $F(\mathbf{x})$  является уадратичной и имеет сильный минимум, то все собственные значения матрицы Гессе  $\mathbf{A}$  будут положительными и условие схождения алгоритма SDA запишется в виде неравенства:

$$\alpha < \frac{2}{\lambda_{\max}}, \quad (4.10)$$

где  $\lambda_{\max}$  — максимальное собственное число матрицы Гессе. Так как собственные числа матрицы Гессе квадратичной целевой функции определяют кривизну поверхности целевой функции, то в соответствии с (4.10) *скорость обучения устойчивого SDA обратно пропорциональна максимальной кривизне целевой функции*.

## 2.3 Решение минимума среднего квадрата ошибки

Рассмотрим АЛЭ с одним выходом. Для упрощения анализа введем следующие обозначения:  $\mathbf{x}^T = [\mathbf{1}^T \mathbf{w}^T \mathbf{b}]$  и  $\mathbf{z}^T = [\mathbf{p}^T \mathbf{1}]$ . Тогда выходной сигнал АЛЭ можно представить в виде скалярного произведения  $a = \mathbf{x}^T \mathbf{z}$ .

В ходе обучения с учителем параметры (веса и смещения) АЛЭ корректируются таким образом, чтобы выходной сигнал  $a$  имел наилучшее приближение к желаемой реакции  $t$ . Для этого вычисляют ошибку приближения  $e = (t - a)$  и минимизируют **средний квадрат ошибки** (СКО, MSE – mean square error). С учетом введенных обозначений *целевая функция*  $F(\mathbf{x})$ , заданная в виде СКО, будет равна

$$F(\mathbf{x}) = E[e^2] = E[(t - a)^2] = E[(t - \mathbf{x}^T \mathbf{z})^2], \quad (4.11)$$

где  $E$  – символ математического ожидания. Раскроем (4.11):

$$F(\mathbf{x}) = E[t^2 - 2t\mathbf{x}^T \mathbf{z} + \mathbf{x}^T \mathbf{z} \mathbf{z}^T \mathbf{x}] = E[t^2] - 2\mathbf{x}^T E[t\mathbf{z}] + \mathbf{x}^T E[\mathbf{z} \mathbf{z}^T] \mathbf{x}.$$

СКО целевая функция может быть переписана в квадратичной форме

$$F(\mathbf{x}) = c - 2\mathbf{x}^T \mathbf{h} + \mathbf{x}^T \mathbf{R} \mathbf{x}, \text{ где } c = E[t^2], \mathbf{h} = E[t\mathbf{z}], \mathbf{R} = E[\mathbf{z} \mathbf{z}^T]. \quad (4.12)$$

Здесь  $\mathbf{h}$  – вектор кросс-корреляции,  $\mathbf{R}$  – корреляционная матрица.

Сравним целевую функцию (4.12) с квадратичной целевой функцией общего вида (4.5). Получим, что

$$\mathbf{d} = -2\mathbf{h}, \mathbf{A} = 2\mathbf{R}, \quad (4.13)$$

т.е. матрица Гессе целевой функции (4.12) равна  $2\mathbf{R}$ . Точка минимума целевой функции  $F(\mathbf{x})$  определится из условия 1-го порядка (4.4):

$$\nabla F(\mathbf{x}) = \nabla \left( c + \mathbf{d}^T \mathbf{x} + \frac{1}{2} \mathbf{x}^T \mathbf{A} \mathbf{x} \right) = \mathbf{d} + \mathbf{A} \mathbf{x} = -2\mathbf{h} + 2\mathbf{R} \mathbf{x} = \mathbf{0}. \quad (4.14)$$

Если корреляционная матрица положительно определена, то будет существовать единственная точка минимума целевой функции (4.12)

$$\mathbf{x}^* = \mathbf{R}^{-1} \mathbf{h}. \quad (4.15)$$

Решение (4.15), позволяющее вычислять параметры АЛЭ через матрицу  $\mathbf{R}$  и вектор  $\mathbf{h}$ , называют **решением минимума СКО (оптимальным решением Винера)**. На практике точные значения  $\mathbf{h}$  и  $\mathbf{R}$  обычно неизвестны. Однако, если входные данные, представляемые вектором  $\mathbf{p}$ , соответствуют стационарному эргодическому процессу, то, используя усреднение по времени, можно оценить  $\mathbf{h}$  и  $\mathbf{R}$ . Если на  $k$ -м шаге имеются оценки матрицы  $\mathbf{R}$  и вектора  $\mathbf{h}$ , обозначаемые как  $\mathbf{R}_k$  и  $\mathbf{h}_k$ , то для поиска винеровского решения можно использовать алгоритм наискорейшего спуска. Подставив значение градиента из (4.14) в выражение (4.9), можно получить алгоритм наискорейшего спуска, сходящийся к решению (4.15):

$$\mathbf{g}_k = -2\mathbf{h}_k + 2\mathbf{R}_k \mathbf{x}_k, \quad (4.16)$$

$$\mathbf{x}_{k+1} = \mathbf{x}_k - \alpha_k \mathbf{g}_k, \quad (4.17)$$

Отметим, что **существование решения (4.15) целиком зависит от  $\mathbf{R}$** . Следовательно, характеристики входного вектора  $\mathbf{p}$  определяют возможность существования единственного решения.

## 2.4. LMS алгоритм

На практике вычислять оценки матрицы  $\mathbf{R}$  и вектора  $\mathbf{h}$  затратно. Поэтому выполняют аппроксимацию алгоритма наискорейшего спуска, в которой используют приближенные оценки градиента. Идея заключается в аппроксимации среднего квадрата ошибки (4.11) более простым выражением

$$\hat{F}(\mathbf{x}) = (t(k) - a(k))^2 = e^2(k), \quad (4.18)$$

в котором вместо математического ожидания  $E$  квадрата ошибки используется просто квадрат мгновенной ошибки. Тогда оценка градиента, называемая в этом случае *стохастическим (случайным) градиентом*, будет равна

$$\hat{\nabla} F(\mathbf{x}) = \nabla e^2(k). \quad (4.19)$$

Так как  $a = \mathbf{x}^T \mathbf{z}$  и  $e = (t - a)$ , то стохастический градиент будет равен

$$\hat{\nabla} F(\mathbf{x}) = \nabla e^2(k) = -2e(k)\mathbf{z}(k). \quad (4.20)$$

Подставив стохастический градиент (4.19) в алгоритм SDA, получим получим **LMS-алгоритм** (LMS- least mean square, алгоритм наименьшего среднего квадрата, также называемый **правилом обучения Уидроу-Хоффа**)

$$\mathbf{x}_{k+1} = \mathbf{x}_k + 2\alpha e(k)\mathbf{z}(k), \quad (4.21)$$

или

$${}_1\mathbf{w}(k+1) = {}_1\mathbf{w}(k) + 2\alpha e(k)\mathbf{p}(k), \quad b(k+1) = b(k) + 2\alpha e(k). \quad (4.22)$$

Если используется слой из АЛЭ, то LMS-алгоритм записывается в матричной форме:

$$\mathbf{W}(k+1) = \mathbf{W}(k) + 2\alpha \mathbf{e}(k)\mathbf{p}^T(k), \quad \mathbf{b}(k+1) = \mathbf{b}(k) + 2\alpha \mathbf{e}(k). \quad (4.21)$$

Поскольку в выражении (4.21) используются неточные оценки градиента, то в процессе обучения возникает шум, в результате чего траектория движения вектора параметров  $\mathbf{x}_k$  к вектору  $\mathbf{x}^*$  в LMS-алгоритме не совпадает с траекторией движения в алгоритме наискорейшего спуска. LMS-алгоритм привлекает своей простотой.

Условие сходимости SDA (4.9) определялось значением собственных чисел матрицы Гессе  $\mathbf{A}$  квадратичной целевой функции. Для LMS справедливо, что  $\mathbf{A} = 2\mathbf{R}$ . Поэтому по аналогии можно записать условие сходимости LMS-алгоритма

$$\alpha < 1/\lambda_i \text{ для всех } i \quad (4.22)$$

или

$$0 < \alpha < 1/\lambda_{\max} \quad (4.23)$$

где  $\lambda_i$  - собственные числа корреляционной матрицы  $\mathbf{R}$ . Если это условие выполняется, то можно показать, что LMS алгоритм, обрабатывающий на каждой итерации один входной вектор, сходится к решению, *совпадающему с решением минимума СКО* (4.15) .

## 2.5 Адаптивная фильтрация

На основе АЛЭ реализуют адаптивные фильтры (рисунок 4.3). Для этого на входе АЛЭ размещают линию задержки (tapped delay line – TDL). Один элемент линии задержки, обозначенный на рисунке 4.3 буквой D, представляет собой регистр, который запоминает входное значение на время, равное шагу дискретизации. В этом случае вектор  $\mathbf{p}$  , поступающий на вход АЛЭ, соответствует совокупности значений на выходе линии задержки –  $y(k), y(k-1), \dots, y(k-R+1)$ .

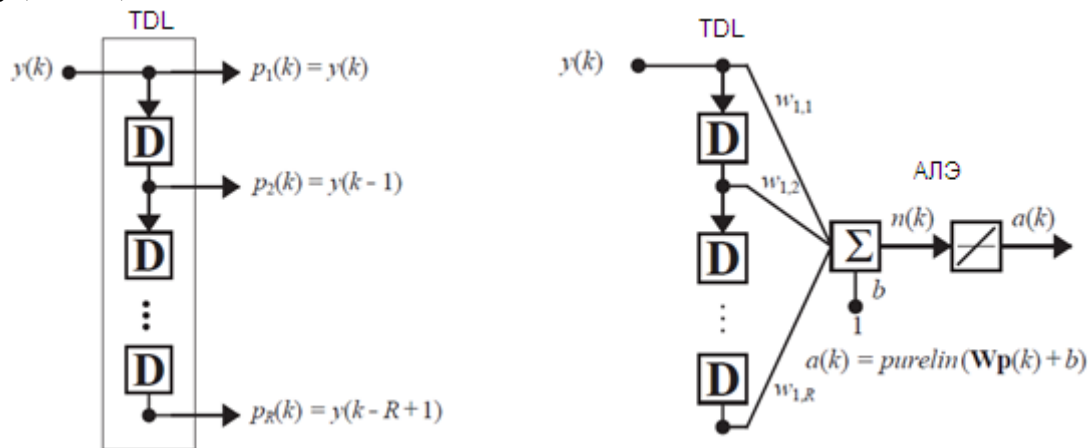


Рисунок 4.3 – Схема адаптивного фильтра на основе АЛЭ

С учетом принятых обозначений выход адаптивного фильтра запишется в виде:

$$a(k) = \text{purelin}(\mathbf{W}\mathbf{p} + b) = \sum_{i=1}^R w_{1,i} y(k-i+1) + b. \quad \dots\dots(4.24)$$

Уравнение (4.24) соответствует фильтру с конечной импульсной характеристикой (КИХ), который также называют *трансверсальным фильтром*.

Адаптивные фильтры используются для решения задач моделирования, идентификации, подавления шумов, компенсации эхо-сигналов, построения эквалайзеров каналов связи, кодирования речи, управления адаптивными антенными решетками и др. Рассмотрим применение адаптивного фильтра для предсказания сигналов. На рисунке 4.4 изображена схема адаптивного предсказателя, построенного на основе АЛЭ, обеспечивающего предсказание



текущего отсчета входного сигнала  $y(k)$  по 2-м предыдущим отсчетам:  $y(k-1)$  и  $y(k-2)$ .

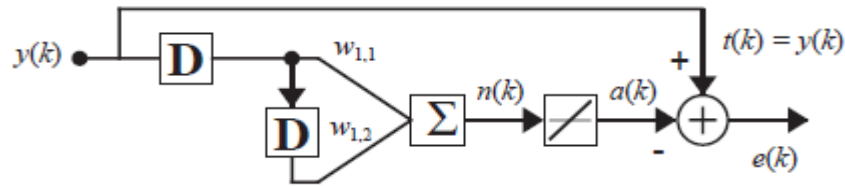


Рисунок 4.4 – Адаптивный предсказатель

Отметим, что адаптивный линейный предсказатель в ходе обучения обеспечивает поиск параметров, которые минимизируют СКО в виде целевой функции (4.12). Так как желаемое значение на выходе предсказателя должно совпадать с текущим входным значением, т.е.  $t(k)=y(k)$  и входной вектор предсказателя равен

$$\mathbf{z}(k)=\mathbf{p}(k)=[y(k-1) \ y(k-2)]^T, \quad (4.25)$$

то составляющие целевой функции (4.12) запишутся в виде:

$$\mathbf{R} = E[\mathbf{z}\mathbf{z}^T] = E \begin{bmatrix} y^2(k-1) & y(k-1)y(k-2) \\ y(k-1)y(k-2) & y^2(k-2) \end{bmatrix}, \quad (4.26)$$

$$\mathbf{h} = E[t\mathbf{z}] = E \begin{bmatrix} y(k)y(k-1) \\ y(k)y(k-2) \end{bmatrix}, \quad c = E[t^2(k)] = E[y^2(k)]. \quad (4.27)$$

При известных значениях матрицы  $\mathbf{R}$  и вектора  $\mathbf{h}$  оптимальные веса предсказателя определяются в виде решения минимума СКО (4.15). Например, пусть

$$\mathbf{R} = \begin{bmatrix} 0.54 & 0.45 \\ 0.54 & 0.45 \end{bmatrix}, \quad \mathbf{h} = \begin{bmatrix} 0.54 \\ 0.45 \end{bmatrix}.$$

Тогда в соответствии с (4.15) оптимальный вектор параметров предсказателя будет равен  $\mathbf{x}^*=[w_{1,1} \ w_{1,2}]=[1 \ 0]$ .

При исследовании свойств алгоритмов, базирующихся на СКО целевой функции полезно использовать графики *линий контуров постоянного уровня*  $e=const$ . Эти графики для поверхности квадратичной целевой функции, являющейся параболоидом, представляют собой гиперэллипсы (рисунок 4.5). Главные оси этих гиперэллипсов ориентированы в направлении собственных векторов матрицы  $\mathbf{R}$ , длина осей обратно пропорциональна собственным числам  $\mathbf{R}$ . Чем больше соответствующее собственное число матрицы  $\mathbf{R}$ , тем больше градиент  $F(\mathbf{x})$  вдоль соответствующей оси эллипса и, соответственно, линии контуров равных уровней располагаются ближе друг к другу. Для рассматриваемого примера  $\mathbf{R}$  собственные числа равны  $\lambda_1=0,17$  и  $\lambda_2=1,97$ . Соответственно, эллипс вытянут вдоль собственного вектора с меньшим собственным значением, т.е.  $\lambda_1=0,17$ .

Так как вычисление оптимальных параметров предсказателя в соответствии с (4.15) требует вычисления обратной матрицы, то на практике

поиск оптимальных параметров выполняют на основе LMS-алгоритма. При этом скорость схождения, точность и устойчивость LMS-алгоритма сильно зависят от скорости обучения  $\alpha$ . Максимальное устойчивое значение  $\alpha$  определяется на основе соотношения (4.23). Для рисунка 4.5  $\alpha_{max}=1/\lambda_2=0,507$ . На практике при использовании адаптивных фильтров определять собственные числа  $\mathbf{R}$  не представляется возможным. Однако, учитывая свойство корреляционной матрицы, согласно которому след корреляционной матрицы равен сумме её собственных чисел, т.е.  $tr(\mathbf{R}) = \sum_{i=1}^R r_{ii} = \sum_{i=1}^R \lambda_i$ , можно заключить, что для СКО целевой функции  $\lambda_{max} \leq tr(\mathbf{R})$ . С учетом этого соотношения условие (4.23) можно представить в виде более жесткого условия, *гарантирующего* устойчивую работу LMS-алгоритма для трансверсального фильтра:

$$\alpha \leq \frac{1}{3 \sum_{i=1}^R r_{ii}} = \frac{1}{3R\sigma_y^2} \quad (4.28)$$

где  $\sigma_y^2$  — дисперсия входного сигнала адаптивного фильтра. В соответствии с (4.28) для рассматриваемого примера должно быть  $\alpha \leq 1/(3 * 2 * 0,54) = 0,31$ .

Так как LMS-алгоритм аппроксимирует алгоритм наискорейшего спуска, то при малых скоростях обучения  $\alpha$  траектория движения вектора параметров LMS-алгоритма будет менее хаотична и в среднем будет соответствовать движению вектора параметров алгоритма наискорейшего спуска, которая направлена перпендикулярно линиям равных контуров, как показано на рисунке 4.5. Однако при значениях  $\alpha$  близких к  $\alpha_{max}$  продвижение к некоторому малому уровню значений целевой функции происходит быстрее, несмотря на хаотичность. Кругок в центре рисунка 4.5. соответствует решению минимума СКО (4.15). Видно, что при выбранных значениях  $\alpha$  решение, получаемое с помощью LMS-алгоритма, приближается к решению минимума СКО.

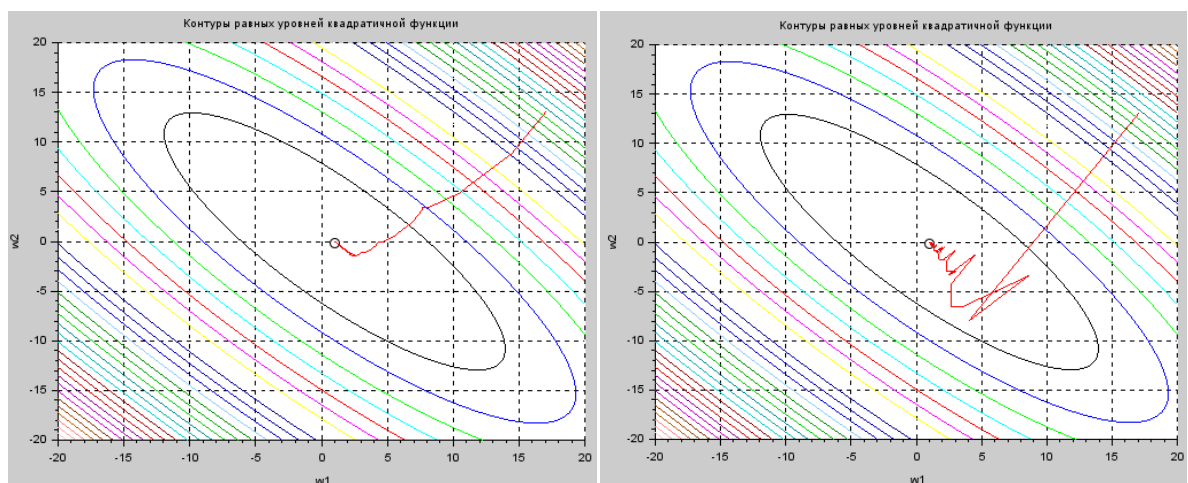


Рисунок 4.5 – Траектория движения вектора параметров предсказателя при использовании LMS-алгоритма: слева  $\alpha = 0,1$ ; справа  $\alpha = 0,507$

### 3. Варианты заданий и программа работы



3.1. Повторить теоретический материал, относящийся к архитектуре и правилам обучения адаптивного линейного элемента [1, 4, 5].

3.2. Даны четыре класса, каждый из которых представлен 2-мя точками (столбцами матрицы **P**), указанными в таблице 3.2 к лабораторной работе №3 (*используйте свой вариант*). Необходимо:

- разработать структурную схему классификатора на основе АЛЭ, распознающего эти 4 класса;
- выполнить предварительный анализ задачи, изобразив точки четырех классов и построив графически возможные границы решений;
- задать ту же целевую матрицу **T**, которая использовалась при выполнении задания 3.3 в лабораторной работе №3, заменив все нули на -1;
- полагая, что все входные векторы **p** равновероятны, написать программу, вычисляющую корреляционную матрицу **R**, собственные числа гессиана целевой функции **A=2R** и максимальное устойчивое значение параметра  $\alpha_{max}$  LMS-алгоритма;
- изучить встроенные функции `ann_ADALINE` и `ann_ADALINE_online` пакета NeuralNetworks 2.0, реализующие блочный и последовательный варианты LMS-алгоритма;
- используя указанные функции, написать программу, которая:
  - отображает диаграмму размещения входных точек из **P** на плоскости с координатами ( $p_1, p_2$ );
  - обучает АЛЭ правильному распознаванию входных классов с использованием 2-х указанных функций при разных значениях параметра  $\alpha$ ;
  - строит кривые обучения - зависимости СКО от номера эпохи для 2-х указанных функций (для этого необходимо модифицировать встроенные функции `ann_ADALINE` и `ann_ADALINE_online`);
  - накладывает на диаграмму входных точек границы решения после обучения слоя АЛЭ;
  - выполняет тестирование полученного решения для всех заданных входных данных;
- сравнить получаемые границы решения слоя АЛЭ с границами решения персептрона, полученными в лабораторной работе №3, обратив внимание на равноудаленность границ от точек соседних классов для случая слоя АЛЭ;
- сравнить кривые обучения слоя АЛЭ двумя модифицированными функциями `ann_ADALINE` и `ann_ADALINE_online` для случая, когда параметр  $\alpha$  LMS-алгоритма значительно меньше  $\alpha_{max}$  и когда он близок к  $\alpha_{max}$ .

3.3. Исследуйте адаптивный линейный предсказатель (рисунок 4.4):

- сгенерируйте входной  $y(k)$  и желаемый  $t(k)=y(k)$  сигналы адаптивного предсказателя. При этом параметры генератора выбирайте в соответствии с вариантом из таблицы 4.1. Для генерации используйте следующий программный код:

//Значения параметров генератора  $L$ ,  $F$ ,  $F_c$  выбирайте из таблицы 4.1;

//Параметры:

$L =$  ;

$F =$  ;

$F_c =$  ;

//Генератор полигармонического входного сигнала;

$td = 1/(20 \cdot F)$ ;

$t = 0:td:2/F$ ;

$fi = (2 \cdot \pi \cdot F) \cdot t$ ;

$Y = 0$ ;

for  $i = 1:L$

$Y = Y + (F_c) / (F_c + 2 \cdot \pi \cdot F \cdot i) \cdot \sin(fi \cdot i)$ ;

end

$T = Y$ ;

Таблица 4.1 – Параметры генератора входного сигнала

Вариант	Число составляющих $L$	Основная частота $F$	Частота среза $F_c$
1	5	0.01	$F \cdot 5$
2	10	0.01	$F \cdot 6$
3	15	0.01	$F \cdot 7$
4	20	0.01	$F \cdot 8$
5	25	0.01	$F \cdot 9$
6	5	0.02	$F \cdot 5$
7	10	0.02	$F \cdot 6$
8	15	0.02	$F \cdot 7$
9	20	0.02	$F \cdot 8$
10	25	0.02	$F \cdot 9$
11	5	0.04	$F \cdot 5$
12	10	0.04	$F \cdot 6$
13	15	0.04	$F \cdot 7$
14	20	0.04	$F \cdot 8$
15	25	0.04	$F \cdot 9$

- запишите развернутые выражения для всех элементов ( $\mathbf{R}, \mathbf{h}, c$ ) целевой функции предсказателя, заданной в виде СКО (4.12);
- вычислите конкретные значения матрицы  $\mathbf{R}$ , вектора  $\mathbf{h}$  и константы  $c$  для сгенерированного входного сигнала  $y(k)$  ;
- вычислите собственные значения и собственные векторы матрицы Гессе целевой функции предсказателя, точку минимума целевой функции, постройте линии контуров равных уровней целевой функции;
- вычислите максимальное устойчивое значение скорости обучения  $\alpha_{max}$  для LMS-алгоритма;
- напишите программу, обучающую предсказатель с использованием встроенной функции `ann_ADALINE_predict` пакета NeuralNetworks 2.0;

- модифицируйте функцию `ann_ADALINE_predict` таким образом, чтобы по результатам её работы можно было построить кривую обучения предсказателя и траекторию движения вектора параметров предсказателя на диаграмме контуров равных уровней;
- постройте в одном графическом окне графики входного процесса и его предсказанных значений, кривую обучения, траекторию движения вектора параметров на диаграмме контуров;
- убедитесь, что алгоритм обучения сходится, если  $\alpha < \alpha_{max}$  и нестабилен когда  $\alpha > \alpha_{max}$ ;
- убедитесь, что при малых  $\alpha$  траектория движения вектора параметров при использовании LMS алгоритма аппроксимирует в среднем траекторию движения вектора параметров алгоритма наискорейшего спуска.

3.4. Подготовьте и защитите отчет по работе.

#### 4. Методические рекомендации по выполнению работы

4.1. Модуль NeuralNetwork 2.0 пакета Scilab содержит встроенные функции для обучения и моделирования АЛЭ:

`[w,b]= ann_ADALINE(P, T, alpha, itermx, initfunc)` – функция обучения АЛЭ, реализующая блочный (пакетный, batch) LMS-алгоритм, код которой с комментариями приведен в приложении А;

`[w,b]= ann_ADALINE_online(P, T, alpha, itermx, initfunc)` – функция обучения АЛЭ, реализующая последовательный (адаптивный) LMS-алгоритм, код которой с комментариями приведен в приложении Б;

`y= ann_ADALINE_run(P,w,b)` – функция моделирования слоя АЛЭ, код которой с комментариями приведен в приложении Г.

4.2. При выполнении задания 3.2 необходимо сначала сформировать матрицу **T** целевых выходов слоя из АЛЭ. Используйте для этого матрицу целевых выходов, построенную в предыдущей лабораторной работе, заменив в ней все нули на -1. Например, для рисунка 3.5 матрица **T** целевых значений выходов классификатора, реализованного в виде слоя из АЛЭ, будет равна:

$$\mathbf{T} = \begin{bmatrix} -1 & -1 & -1 & -1 & 1 & 1 & 1 & 1; \\ -1 & -1 & 1 & 1 & -1 & -1 & 1 & 1 \end{bmatrix}.$$

Так как входные векторы **p** равновероятны, то для вычисления корреляционной матрицы **R** используйте простую формулу

$$\mathbf{R} = 1/Q \sum_{q=1}^Q \mathbf{z}_q \mathbf{z}_q^T,$$

где  $\mathbf{z}_q^T = [\mathbf{p}_q \ 1]$  – расширенный входной вектор слоя АЛЭ (здесь 1 соответствует входу с весом, равным смещению b),  $Q$  – число входных векторов **p**.

Для вычисления собственных значений гессиана  $A=2R$  целевой функции, заданной в виде СКО, используйте вызов встроенной функции Scilab:

```
evals=spec(2*R)
```

Для написания программы, которая выполняет обучение АЛЭ правильному распознаванию входных классов в двух режимах – блочном и последовательном – используйте модифицированные функции обучения `ann_ADALINE` и `ann_ADALINE_online`:

```
[w1,b1,mse1] = ann_ADALINE1(P,T,alpha,maxiter,'zeros');  
[w2,b2,mse2] = ann_ADALINE1_online(P,T,alpha,maxiter,'zeros');
```

Функции `ann_ADALINE1` и `ann_ADALINE1_online` модифицируется таким образом, чтобы можно было после обучения построить кривые обучения – зависимости ошибки СКО от номера эпохи обучения. Для этого указанные функции, кроме параметров обученного слоя АЛЭ, должны возвращать массивы значений средних квадратов ошибок, соответственно `mse1` и `mse2`. Схема модификации кода функции `ann_ADALINE`:

```
function [w, b, mse1]=ann_ADALINE1(P, T, alpha, itermax, initfunc)  
...  
itercnt = 0;  
mse1=zeros(1,itermax);  
while itercnt < itermax  
    ...  
    itercnt = itercnt + 1;  
    mse1(itercnt) = mean(e.^2);  
    //disp('Epoch:....'  
end  
endfunction
```

Схема модификации кода функции `ann_ADALINE1_online`:

```
function [w, b, mse2]=ann_ADALINE1_online(P, T, alpha, itermax, initfunc)  
...  
itercnt = 0;  
mse2=zeros(1,itermax);  
while itercnt < itermax  
    for cnt = 1:size(P,2)  
        ...  
        e_all(cnt) = e.^2  
    end  
    itercnt = itercnt + 1;  
    mse2(itercnt)=mean(e_all);  
    //disp('Epoch:....'  
end  
endfunction
```

Добавленные операторы выделены красным цветом. Операторы отображения *disp* внутри функций рекомендуется исключить для уменьшения объемов данных, выводимых на экран.

Теперь, используя значения матриц **P** и **T**, вычисленное значение  $\alpha_{max}$ , можно обучить слой АЛЭ, вызвав модифицированные функции обучения. По результатам обучения следует построить графики кривых обучения для 2-х модифицированных функций:

```
x_axis=1:maxiter;
plot(x_axis,mse1(x_axis),'r',x_axis,mse2(x_axis),'g');
xtitle('Средний квадрат ошибки', 'Эпоха','СКО');
```

В качестве примера на рисунке 4.6 изображены кривые обучения при разных значениях параметра скорости обучения  $\alpha$ : когда  $\alpha$  мало и когда близко к максимально допустимому значению (для рассматриваемого примера  $\alpha_{max}=0,19$ ).

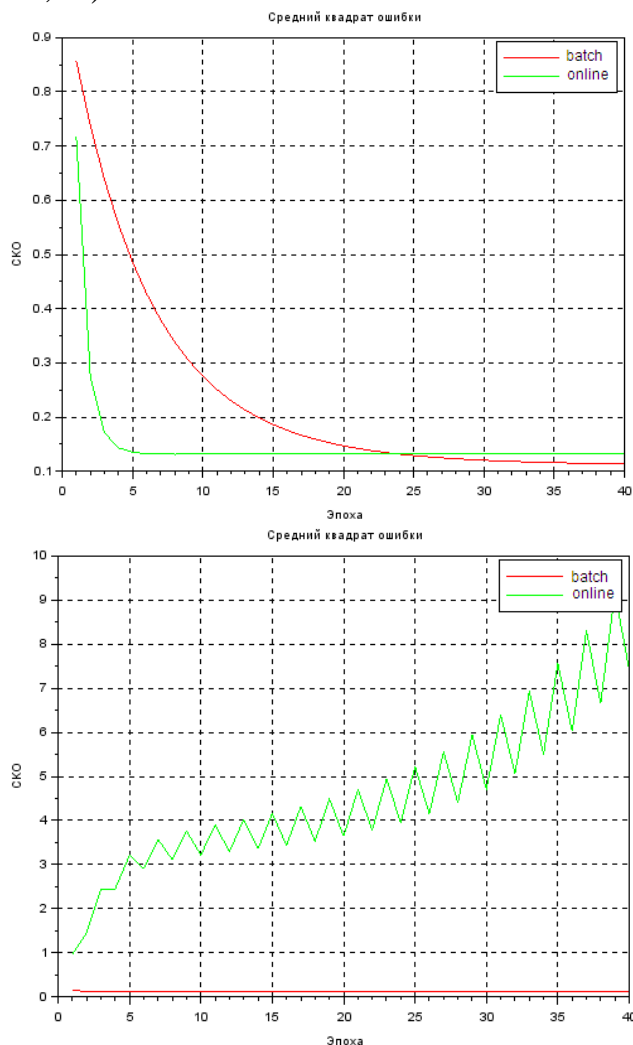


Рисунок 4.6 – Сравнение кривых обучения: слева  $\alpha=0,02$ ; справа  $\alpha=0,19$

Как следует из рисунка 4.6, блочный LMS-алгоритм при малых  $\alpha$  требует для обучения большего числа эпох, чем последовательный алгоритм, но в

итоге дает более точное решение. Последовательный LMS-алгоритм при малых  $\alpha$  обучается быстрее, но при значении  $\alpha = \alpha_{max}$  теряет устойчивость.

Для отображения диаграммы расположения точек классов и границ полученных решений (рисунок 4.7) используйте код, разработанный при выполнении лабораторной работы №3.

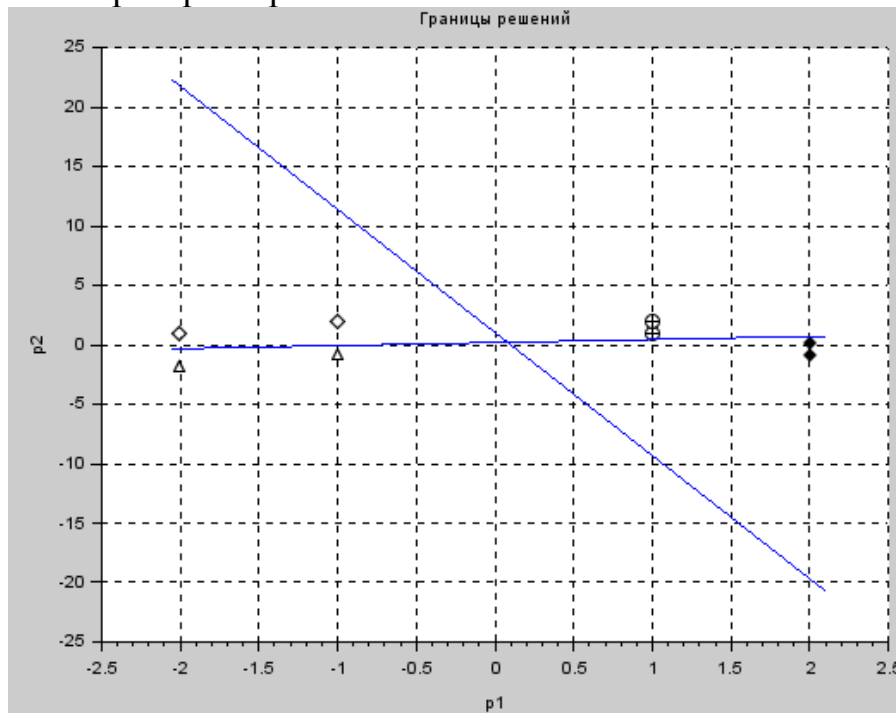


Рисунок 4.7 – Границы решений слоя АЛЭ (блочный LMS-алгоритм)

Сравните полученное решение с решением, изображенным на рисунке 3.5. Обратите внимание, что LMS-алгоритм находит границы решения, равноудаленные от центров соседних классов, и получаемое решение не зависит от способа инициализации весов слоя АЛЭ. В то же время слой персептронов формировал различные границы решения при разных начальных значениях весов.

4.3. В задании 3.3 требуется обучить линейный предсказатель значений стационарного сигнала  $y(k)$  по двум его предыдущим значениям. Соответствующая схема предсказателя с двумя элементами задержки  $D=2$  изображена на рисунке 4.4. В соответствии с заданием вектор отсчетов входного сигнала  $\mathbf{Y}$  и вектор целевых значений  $\mathbf{T}$  предсказателя генерируются с помощью программного кода, приведенного в п.3.3. Отметим, что  $\mathbf{T}=\mathbf{Y}$ .

На первом этапе необходимо вычислить все элементы  $(\mathbf{R}, \mathbf{h}, c)$  целевой функции предсказателя, заданной в виде СКО (4.12). Для этого следует воспользоваться общими формулами (4.26)-(4.27). Чтобы применить эти формулы, нужно сначала получить значения вектора  $\mathbf{p}$ , элементы которого соответствуют выходам линии задержки (см. рисунок 4.3). Для формирования матрицы  $\mathbf{P}$ , каждый столбец которой равен очередному входному вектору  $\mathbf{p}$  АЛЭ, можно использовать начальную часть кода встроенной функции `ann_ADALINE_predict` (приложение В), предназначенной для обучения



адаптивного линейного предсказателя в последовательном режиме на основе LMS-алгоритма:

```

T=Y;
D=2;
P = [];
for cnt = 1:D // для каждого выхода линии задержки
    //формируем строки матрицы P из отсчетов Y
    // очередная строка P – сдвинутая на один отсчет копия предыдущей строки
    P = [P; Y(cnt:$-D+cnt-1)];
end
//формируем вектор целевых значений с длиной, равной длине строки из P
T1 = T(1:$-D+1);

```

Теперь, используя формулы (4.26)-(4.27), можно вычислить значения **R**, **h** и **c**. Для вычисления собственных векторов и собственных значений матрицы Гессе (**A=2R**) целевой функции предсказателя следует использовать вызов встроенной функции Scilab в форме:

```
[evals, diagevals]=spec(2*R).
```

Здесь переменная evals – вектор-столбец из собственных значений матрицы **2R**, а diagevals – матрица, столбцы которой представляют собственные векторы матрицы **2R**. При известных значениях матрицы **R** и вектора **h** точка минимума целевой функции (**x\***, xstar) находится в виде решения минимума среднего квадрата ошибки (4.15).

Для построения контуров равных уровней целевой функции следует получить уравнение её поверхности (4.12) в виде функции матрицы **R**, вектора **h** и элементов вектора **x**. Пусть

$$\mathbf{R} = \mathbf{Cor}, \quad \mathbf{x} = \begin{bmatrix} w(1) \\ w(2) \end{bmatrix}.$$

Тогда для вычисления значений целевой функции (4.12) в зависимости от её параметров можно определить в Scilab следующую функцию:

```

function z=f(w1, w2, c, h, Cor)
    x=[w1;w2];
    z=c-2*x'*h+x'*Cor*x;
endfunction

```

Для построения 3D поверхности и линий контуров равных уровней используйте функции feval, surf и contour2d:

```

x=linspace(-20,20,100);
y=linspace(-20,20,100);
z=feval(x,y,f); //вычисляем значения высот целевой функции f на сетке x,y

clf(1);
figure(1);
subplot(1,2,1);
surf(x,y,z'); //строим 3D поверхность

```

```

subplot(1,2,2);
contour2d(x,y,z,30); //отображаем линии контуров равных уровней
xset("fpf"," "); //подавляем отображение значений на линиях контуров
xtitle("Контурные равных уровней квадратичной функции","w1","w2");
xgrid;
plot(xstar(1),xstar(2),'*b'); //отображаем точку решения минимума СКО (4.15)

```

В результате работы приведенного фрагмента кода будут построена 3D поверхность и линии контуров равных уровней (рисунок 4.8., см. ниже).

Для обучения адаптивного предсказателя используйте встроенную функцию `ann_ADALINE_predict` пакета `NeuralNetworks 2.0`. Чтобы по результатам её работы можно было построить кривую обучения предсказателя и траекторию движения вектора параметров предсказателя модифицируйте функцию по схеме:

```

function [w,b,y,ee,mse,W] = ann_ADALINE1_predict(Y,T,alpha,itermax,D,initfunc)
...
mse=zeros(1,itermax); // создаем вектор СКО
W=[w]; //матрица, каждая строка которой – вектор весов на очередном шаге
itercnt = 0; // Счетчик итераций - эпох
while itercnt < itermax
    for cnt = 1:size(P,2) // Цикл по всем обучающим примерам из P (1 эпоха)
        ...
        w = (w + 2*alpha*e*P(:,cnt));
        // b = b + 2*alpha*e;
        // Вычисляем и запоминаем квадраты текущих ошибок
        e_all(cnt) = e.^2;
        W=[W;w];
    end
    itercnt = itercnt + 1;
    mse(itercnt)=mean(e_all); // вычисляем СКО на шаге и запоминаем
    //disp('Epoch: ...
    ...
end
endfunction

```

Теперь функция обучения будет возвращать вектор СКО ошибок **mse** и матрицу **W** из векторов-строк весовых коэффициентов предсказателя на каждой итерации. Вектор **mse** позволяет построить кривые обучения (см. пример на рисунке 4.6), а матрица **W** – траекторию движения вектора параметров предсказателя, наложив её (траекторию) на линии равных контуров (рисунок 4.8):

```

plot2d(W(:,1),W(:,2),5);

```

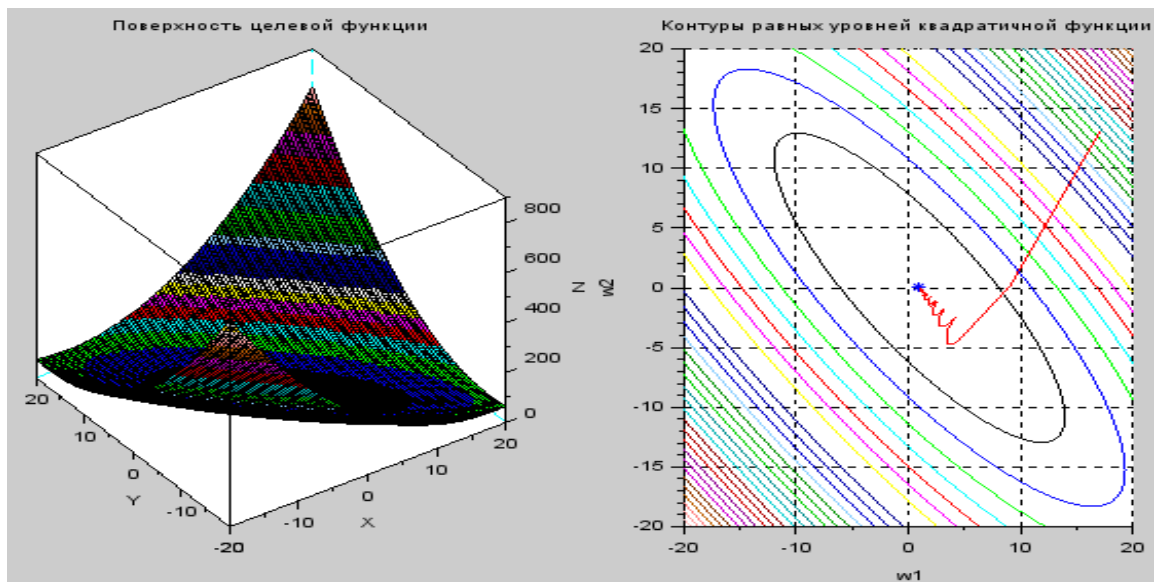


Рисунок 4.8 – Поверхность целевой функции, линии контуров и траектория движения вектора параметров для LMS-алгоритма.

## 5. Содержание отчета

- 5.1. Цель работы.
- 5.2. Вариант задания.
- 5.3. Схема слоя АЛЭ, решающего задачу классификации 4-х классов; вычисленное значение матрицы  $\mathbf{R}$  и её собственных чисел, значения весов и смещений, максимальное значения скорости обучения; диаграмма расположения классов с границами решений, соответствующими обученному слою АЛЭ; графики с кривыми обучения; листинг программы с комментариями.
- 5.4. Схема адаптивного линейного предсказателя; правила обучения; результаты вычислений: значение матрицы  $\mathbf{R}$  и её собственных чисел и векторов, значение максимальной устойчивой скорости обучения; решение минимума СКО; кривые обучения и результирующие значения параметров предсказателя; графики 3D поверхности целевой функции и линий контуров равных уровней, траектории движения вектора параметров; листинг программы с комментариями.
- 5.5. Выводы по результатам исследований.

## 6. Контрольные вопросы

- 6.1 Нарисуйте схему однослойной сети из адаптивных линейных элементов, объясните все обозначения, запишите формулу вычисления вектора выходных значений и объясните её.
- 6.2 Сколько линейно-разделимых классов способна распознать сеть, содержащий  $S$  адаптивных линейных нейронов?
- 6.3. Изобразите АЛЭ с 2-мя входами. Запишите уравнение границы решения.
- 6.6. Как связана ориентация вектора весов с границей решения АЛЭ?
- 6.7. Что понимают под целевой функцией сети?

- 6.8. Сформулируйте условие минимума первого порядка для целевой функции.
- 6.9. Сформулируйте условие минимума второго порядка для целевой функции.
- 6.10. Что такое матрица Гессе целевой функции? Каким условиям должна удовлетворять эта матрица, чтобы целевая функция имела строгий минимум?
- 6.11. Запишите выражение для квадратичной целевой функции в общей форме, найдите градиент и гессиан этой функции.
- 6.12. Сформулируйте алгоритм наискорейшего спуска. Запишите условие схождения алгоритма.
- 6.13. Запишите выражение для целевой функции в виде среднего квадрата ошибки. Приведите его к квадратичной форме.
- 6.14. Запишите условие минимума СКО целевой функции и получите решение минимума СКО.
- 6.15. Что такое стохастический градиент? Сформулируйте LMS-алгоритм.
- 6.16. Запишите выражения LMS-алгоритма в матричной форме, сформулируйте условие схождения алгоритма.
- 6.17. Изобразите схему адаптивного фильтра на основе АЛЭ. Укажите области применения адаптивной фильтрации.
- 6.18. Изобразите схему адаптивного линейного предсказателя. Запишите выражения для вычисления корреляционной матрицы  $\mathbf{R}$  и вектора кросс-корреляции  $\mathbf{h}$ .
- 6.19. Сформулируйте гарантирующие условие схождения LMS-алгоритма для трансверсального фильтра.
- 6.20. Что такое кривая обучения? Как её построить? Какие выводы можно сделать, анализируя кривую обучения?
- 6.21. Как ориентирована траектория движения вектора параметров на графике линий контуров равных уровней? Чем объясняется хаотичность траектории для LMS-алгоритма?
- 6.22. Объясните алгоритмы, реализуемые функциями [ann\\_ADALINE](#), [ann\\_ADALINE\\_online](#), [ann\\_ADALINE\\_predict](#).

## Приложение А. Код функции [ann\\_ADALINE](#)

```
function [w, b]=ann_ADALINE(P, T, alpha, itermax, initfunc)
// Обучение слоя адаптивных линейных нейронов в блочном режиме
// Длина блока Q равна числу обучающих примеров
// Примеры вызовов
// [w,b] = ann_ADALINE(P,T)
// [w,b] = ann_ADALINE(P,T,alpha,itermax,initfunc)
//Параметры:
// P : Матрица обучающих примеров (RxQ)
// T : Матрица целевых выходных значений (SxQ)
// alpha : Скорость обучения (по умолчанию =0.01)
// itermax : Максимальное число итераций – эпох (по умолчанию – 100)
// initfunc : Функция инициализации значений w и b: 'rand', 'zeros', или 'ones'
// По умолчанию используется 'rand'.
// w : веса сети (SxR))
```

```

// b : смещения (Sx1)

// 1.===== Обработка списка входных аргументов функции =====
rhs=argn(2); // argn(2) – возвращает число аргументов функции
if rhs < 2; error("Должно быть минимум 2 аргумента: P и T"); end
if rhs < 3; alpha = 0.01; end
if rhs < 4; itermax = 100; end
if rhs < 5; w = rand(size(T,1),size(P,1)); b = rand(size(T,1),1); end
//Инициализация весов и смещений
if rhs == 5 then
    select initfunc
    case 'rand' then
        w = rand(size(T,1),size(P,1));
        b = rand(size(T,1),1);
    case 'zeros' then
        w = zeros(size(T,1),size(P,1));
        b = zeros(size(T,1),1);
    case 'ones' then
        w = ones(size(T,1),size(P,1));
        b = ones(size(T,1),1);
    else
        error("Неверное значение входного аргумента 5");
    end
end

if itermax == []; itermax = 100; end
if alpha == []; alpha = 0.01; end

//2. ===== Реализация правил обучения =====
itercnt = 0; // Счетчик итераций - эпох
while itercnt < itermax
    // Вычисляем вектор выхода сети a и вектор ошибки сети e
    // сразу для всего блока данных P (1 эпоха)
    n = w*P + repmat(b,1,size(P,2));
    a = ann_purelin_activ(n);
    e = T - a;
    //Реализуем блочное правило обучения Уидроу-Хоффа
    // вычисляется среднее обновление для w и b в пределах блока
    w = w + (2*alpha*e*P')./size(P,2);
    b = b + 2*alpha*mean(e,2);
    // Вычисляем вектор ошибки при обновленных w и b
    n = w*P + repmat(b,1,size(P,2));
    a = ann_purelin_activ(n);
    e = T - a;
    // Вычисляем значения СКО
    mse = mean(e.^2);
    itercnt = itercnt + 1;
    disp('Эпоха: ' + string(itercnt) + ' СКО: ' + string(mean(mse)));
end
endfunction

```

## Приложение Б. Код функции **ann\_ADALINE\_online**

```

function [w, b]=ann_ADALINE_online(P, T, alpha, itermax, initfunc)
// Обучение слоя адаптивных линейных нейронов в последовательном режиме
// Примеры вызовов
// [w,b]=ann_ADALINE_online(P,T)
// [w,b]=ann_ADALINE_online (P,T,alpha,itermax,initfunc)
//Параметры:
// P : Матрица обучающих примеров (RxQ)
// T : Матрица целевых выходных значений (SxQ)
// alpha : Скорость обучения (по умолчанию =0.01)

```

```

// itmaxs : Максимальное число итераций – эпох (по умолчанию – 100)
// initfunc : Функция инициализации значений w и b: 'rand', 'zeros', или 'ones'
// По умолчанию используется 'rand'.
// w : веса сети (SxR)
// b : смещения (Sx1)

// 1.===== Обработка списка входных аргументов функции =====
rhs=argn(2); // argn(2) – возвращает число аргументов функции
if rhs < 2; error("Должно быть минимум 2 аргумента: P и T"); end
if rhs < 3; alpha = 0.01; end
if rhs < 4; itermax = 100; end
if rhs < 5; w = rand(size(T,1),size(P,1)); b = rand(size(T,1),1); end
//Инициализация весов и смещений
if rhs == 5 then
    select initfunc
    case 'rand' then
        w = rand(size(T,1),size(P,1));
        b = rand(size(T,1),1);
    case 'zeros' then
        w = zeros(size(T,1),size(P,1));
        b = zeros(size(T,1),1);
    case 'ones' then
        w = ones(size(T,1),size(P,1));
        b = ones(size(T,1),1);
    else
        error("Неверное значение входного аргумента 5");
    end
end
end

if itermax == []; itermax = 100; end
if alpha == []; alpha = 0.01; end

//2. ===== Реализация правил обучения =====
itercnt = 0; // Счетчик итераций - эпох
while itercnt < itermax
    for cnt = 1:size(P,2) // Цикл по всем обучающим примерам - 1 эпоха
        // Вычисляем вектор текущей ошибки сети e для одного примера P(:,cnt)
        e = T(:,cnt) - ann_purelin_activ(w*P(:,cnt)+b);
        //Реализуем правило обучения Уидроу-Хоффа
        //для каждого примера P(:,cnt) вычисляем обновление w и b
        w = (w + 2*alpha*e*P(:,cnt));
        b = b + 2*alpha*e;
        // Вычисляем и запоминаем квадраты текущих ошибок
        e_all(cnt) = e.^2;
    end
    itercnt = itercnt + 1;
    disp('Epoch: ' + string(itercnt) + ' MSE: ' + string(mean(e_all)));
end
endfunction

```

## Приложение В. Код функции ann\_ADALINE\_predict

```

function [w, b, y, ee]=ann_ADALINE_predict(X, T, alpha, itermax, D, initfunc)
// Обучение адаптивного линейного предсказателя с линией задержки
// в последовательном режиме
// Примеры вызовов
// [w,b]=ann_ADALINE__predict (P,T, alpha)
// [w,b]=ann_ADALINE__predict (P,T,alpha,itermax, D, initfunc)
//Параметры:
// X: входные значения предсказателя
// P : Матрица обучающих примеров (RxQ)

```



```

// T : Матрица целевых выходных значений (SxQ)
// alpha: Скорость обучения (по умолчанию – 0.01)
// itermaxs : Максимальное число итераций – эпох (по умолчанию – 100)
// D – число элементов задержки (по умолчанию – 1)
// initfunc : Функция инициализации значений w и b: 'rand', 'zeros', или 'ones'
// По умолчанию используется 'rand'.
// w : веса сети (SxR)
// b : смещения (Sx1)
// y : Выход предсказания
// ee : Ошибка между T и y

// 1.==== Обработка списка входных аргументов функции =====
rhs=argn(2); // argn(2) – возвращает число аргументов функции
if rhs < 2; error("Должно быть минимум 2 аргумента: P и T"); end
if rhs < 3; alpha = 0.01; end
if rhs < 4; itermax = 100; end
if rhs < 5; D = 1; end
if rhs < 6; w = rand(size(T,1),D); b = rand(size(T,1),1); end

//Инициализация весов и смещений
if rhs == 6 then
    select initfunc
    case 'rand' then
        w = rand(size(T,1),D);
        b = rand(size(T,1),1);
    case 'zeros' then
        w = zeros(size(T,1),D);
        b = zeros(size(T,1),1);
    case 'ones' then
        w = ones(size(T,1),D);
        b = ones(size(T,1),1);
    else
        error("Неверное значение входного аргумента 5");
    end
end

if itermax == []; itermax = 100; end
if alpha == []; alpha = 0.01; end
if D == []; D = 1; end

// Формирование выходов линии задержки: реформатирование X в матрицу P
P = [];
for cnt = 1:D // для каждого выхода линии задержки
    //формируем строки матрицы P из отсчетов X
    // очередная строка P – сдвинутая на один отсчет копия предыдущей строки
    P = [P; X(cnt:$-D+cnt-1)];
end
//формируем вектор целевых значений
T = T(1:$-D+1);

//2. ===== Реализация правил обучения =====
itercnt = 0; // Счетчик итераций - эпох
while itercnt < itermax
    for cnt = 1:size(P,2) // Цикл по всем обучающим примерам из P (1 эпоха)
        n = w*P(:,cnt)+b; // Сетевая функция АЛЭ
        a = ann_purelin_activ(n);
        e = T(:,cnt) - a; // Ошибка
        y(cnt) = a; // Запоминаем выход АЛЭ
        ee(cnt) = e; // Запоминаем ошибку
        //Реализуем правило обучения Уидроу-Хоффа
        //для каждого примера P(:,cnt) вычисляем обновление w и b
        w = (w + 2*alpha*e*P(:,cnt));
        b = b + 2*alpha*e;
    end
    itercnt = itercnt + 1;
end

```

```

        // Вычисляем и запоминаем квадраты текущих ошибок
        e_all(cnt) = e.^2;
    end
    itercnt = itercnt + 1;
    disp('Epoch: ' + string(itercnt) + ' MSE: ' + string(mean(e_all)));
end

endfunction

```

## Приложение Г. Код функции **ann\_ADALINE\_run**

```

function y=ann_ADALINE_run(P, w, b)
// Функция моделирования адаптивного линейного элемента.
// Вызов:
//   y = ann_ADALINE_run(P,w,b)
//
// Параметры:
//   P : Матрица входных тестовых примеров (RхQ)
//   w : веса слоя (SхR)
//   b : смещения слоя(Sх1)
//   y : выход слоя (SхQ)
y = ann_purelin_activ(w*P+repmat(b,1,size(P,2)));

endfunction

```

## Список рекомендованной литературы

1. Бондарев В.Н. Искусственный интеллект: Учеб. пособие для студентов вузов / В. Н. Бондарев, Ф. Г. Аде. — Севастополь: Изд-во СевНТУ, 2002. — 613 с.
2. Ерин С.В. Scilab – примеры и задачи: практическое пособие / С.В. Ерин – М.: Лаборатория «Знания будущего», 2017. – 154 с.
3. Медведев, В.С. Нейронные сети. MATLAB 6 / В.С. Медведев, В.Г. Потемкин; под общ. ред. В.Г. Потемкина. — М.: ДИАЛОГ-МИФИ, 2002. — 496 с.
4. Хайкин С. Нейронные сети: Полный курс. Пер. С англ. / С. Хайкин. — М.: Изд. «Вильямс», 2006. — 1104 с.
5. Hagan M.T. Neural Network Design. The 2nd edition [Электронный ресурс] /M.T.Hagan, H.B.Demuth, M.H.Beale, O.D. Jesus. . — Frisco, Texas, 2014 . — 1012 p. Режим доступа: <https://www.hagan.okstate.edu/NNDesign.pdf>. —Последний доступ: 14.01.2019. —Название с экрана.